

## پترولوژی و پتروگرافی سنگ‌های آتشفشانی کواترنری شمال-شرق

### ورزان (آذربایجان شرقی)

پروین حاجی‌زاده<sup>۱</sup>، محمد هاشم امامی<sup>۲</sup>

۱- دانشجوی کارشناسی ارشد زمین‌شناسی، دانشگاه آزاد اسلامی، واحد علوم و تحقیقات، تهران

۲- عضو هیئت علمی دانشگاه آزاد اسلامی، واحد اسلامشهر

#### چکیده

منطقه مورد مطالعه در شمال-شرق شهرستان ورزقان در استان آذربایجان شرقی واقع شده است و از نظر ساختاری، در زون البرز-آذربایجان قرار دارد. در این منطقه سنگ‌های آتشفشانی کواترنری بر روی واحدهای پلیوسن گسترش یافته‌اند. سنگ‌های آتشفشانی مورد مطالعه عبارتند از: بازالت، تراکی آندزیت و تراکی آندزیت بازالتی. این سنگ‌ها اکثراً دارای بافت پوروفیریک با زمینه میکرولیتی بوده و کانی‌های اصلی آنها شامل پیروکسن و پلاژیوکلاز می‌باشد. بر اساس مطالعات ژئوشیمی، سنگ‌های آتشفشانی منطقه دارای ماهیت آلکالن با گرایش سدیک می‌باشند و از عناصر کمیاب خاکی سبک (LREE)، غنی شدگی و از عناصر کمیاب خاکی سنگین آلوگی و آناتکسی پوسته قاره‌ای در تشکیل سنگ‌های آتشفشانی منطقه دارد. طبق نمودارهای محیط تکتونوماگماتی، نمونه‌ها در محدوده بازالت‌های درون قاره‌ای قرار می‌گیرند.

**واژگان کلیدی:** ورزقان، بازالت، آندزیت، آلوگی پوسته‌ای، بازالت درون قاره‌ای.

#### مقدمه

منطقه مورد مطالعه در شمال غرب ایران و شمال-شمال شرق شهرستان ورزقان قرار داشته و از نظر موقعیت جغرافیایی در ورقه ۱۰۰۰۰۰:۱ تبریز-ورزان بین طول جغرافیایی  $۴۷^{\circ} ۴۶' E$  تا  $۴۰^{\circ} ۳۸' E$  شرقی و عرض جغرافیایی  $۳۰^{\circ} ۳۸' N$  تا  $۳۸^{\circ} ۳۸' N$  شمالی واقع شده است. محدوده مورد مطالعه بر روی رشته کوه‌های ارسباران (قره‌داغ) قرار گرفته است و از لحاظ تقسیم‌بندی زون‌های ساختاری ایران، در زون ایران مرکزی

تحقیقات انجام شد. پس از مطالعه دقیق پتروگرافی نمونه‌ها، تعداد ۱۴ نمونه برای آنالیز شیمیایی عناصر اصلی و کمیاب انتخاب شدند، که مراحل خرد و آسیاب کردن آن‌ها در آزمایشگاه شرکت کانپژوه تهران انجام گردید، سپس به آزمایشگاه ژئوشیمی ALS-Chemex روش‌های ME-ICP06 و ME-MS81 مورد آنالیز قرار گرفتند که نتایج آن در جدول (۱) و (۲) آمده است. بعد از تجزیه نمونه‌ها و بررسی آماری داده‌های تجزیه شده، از نرمافزارهای کامپیوتری (Gcdkit و Excel) برای تحلیل داده‌های تجزیه‌ای، تفسیر نتایج و دیاگرام‌های مختلف، استفاده کرده و در آخر تمام اطلاعات کتابخانه‌ای، صحرایی و آزمایشگاهی را تطبیق داده و تدوین مقاله انجام شد.

بیشتر منطقه، از دیدگاه زمین‌شناسی است و طی انجام این تحقیق، سنگ‌های آتشفشاری مربوط به دوره کواترنر، از دیدگاه پتروگرافی، ژئوشیمی و محیط تکتونوماگمایی مورد بررسی قرار گرفته است.

### روش تحقیق

بعد از جمع‌آوری اطلاعات، نقشه‌های زمین‌شناسی، توپوگرافی، عکس‌های هوایی و گزارشات موجود از منطقه مورد مطالعه، عملیات صحرایی زمین‌شناسی و نمونه‌برداری انجام شد. در کل ۶ مسیر پیمایش، ۱۱۴ نمونه برداشت شد. از بین نمونه‌های برداشت شده حدود ۷۷ نمونه انتخاب و از آنها مقطع نازک تهیه گردید. مطالعه بر روی مقاطع نازک، در آزمایشگاه زمین‌شناسی دانشگاه آزاد اسلامی، واحد علوم و

جدول ۱- نتایج تجزیه شیمیایی عناصر اصلی

شماره نمونه‌ها	SiO <sub>2</sub> (%)	Al <sub>2</sub> O <sub>3</sub> (%)	Fe <sub>2</sub> O <sub>3</sub> (%)	CaO (%)	MgO (%)	Na <sub>2</sub> O (%)	K <sub>2</sub> O (%)	TiO <sub>2</sub> (%)	MnO (%)	P <sub>2</sub> O <sub>5</sub> (%)	Total (%)
۱	۴۶/۶	۱۳/۴۰	۱۰/۰۵	۱۰/۹۵	۹/۸۱	۴/۰۵	۱/۰۹	۱/۷۷	۰/۱۵	۱/۲۱	۹۹/۸
۲	۴۹/۱	۱۵	۹/۰۷	۱۰/۷۰	۷/۳۵	۴/۱۰	۱/۰۲	۱/۴۶	۰/۱۴	۰/۷۵	۹۹/۹
۳	۵۹/۷	۱۸/۷۰	۵/۰۱	۶/۰۹	۱/۶۶	۰/۳۱	۱/۴۴	۰/۷۷	۰/۱۰	۰/۴۸	۹۹/۸
۴	۵۵/۷	۱۸/۰۵	۰/۹۱	۷/۴۰	۲/۹۵	۰/۴۱	۱/۹۰	۰/۹۸	۰/۰۹	۰/۷۲	۹۹/۸
۵	۵۸/۷	۱۸	۴/۸۴	۷/۴۷	۲/۷۳	۰/۰۹	۱/۳۰	۰/۷۲	۰/۰۷	۰/۴۶	۹۹/۸
۶	۵۴/۳	۱۷/۷۵	۶/۱۳	۷/۷۱	۳/۴۹	۴/۹۵	۱/۰۷	۰/۹۳	۰/۰۹	۰/۶۸	۹۸/۱
۷	۵۵/۸	۱۷/۸۰	۶	۷/۵۸	۳/۴۱	۰/۰۷	۱/۰۴	۰/۸۹	۰/۰۹	۰/۰۹	۹۸/۹
۸	۵۵/۴	۱۸	۶/۱۹	۷/۸۲	۳/۱۳	۴/۹۰	۱/۶۳	۰/۹۱	۰/۱۰	۰/۶۱	۹۹/۹
۹	۴۶/۸	۱۱/۶۵	۱۰/۰۵	۹/۹۷	۷/۰۴	۳/۱۰	۳/۰۸	۲/۴۹	۰/۱۴	۱/۱۹	۹۸/۲
۱۰	۵۱/۱	۱۴/۱۰	۸/۹۷	۹/۷۹	۸/۱۹	۳/۱۲	۱/۲۱	۱/۲۹	۰/۲۶	۰/۶۷	۹۸/۱
۱۱	۶۷	۱۳/۶۰	۲/۰۲	۴/۳۱	۰/۷۳	۷/۶۱	۰/۲۸	۰/۱۵	۰/۰۸	۰/۰۳	۹۸/۱
۱۲	۵۹	۱۶/۸۵	۰/۱۱	۷/۴۰	۲/۰۵	۴/۸۸	۱/۴۴	۰/۷۷	۰/۰۹	۰/۵۷	۹۸
۱۳	۵۸/۶	۱۶/۷۵	۰/۰۹	۷/۳۳	۲/۶۸	۴/۹۰	۱/۴۱	۰/۷۷	۰/۰۸	۰/۰۳	۹۸/۲
۱۴	۵۶/۷	۱۶/۱۵	۰/۳۳	۶/۷۸	۲/۸۰	۳/۰۸	۱/۴۴	۰/۶۸	۰/۰۸	۰/۲۹	۹۸

جدول ۲- نتایج تجزیه شیمیایی عناصر فرعی

شماره نمونه ها	Ag (ppm)	Ba (ppm)	Ce (ppm)	Co (ppm)	Cr (ppm)	Cs (ppm)	Cu (ppm)	Dy (ppm)	Er (ppm)	Eu (ppm)	Ga (ppm)	Gd (ppm)	Hf (ppm)
۱	<1	۱۲۶۰	۱۴۷/۵	۴۴/۹	۴۳۰	۴/۴۲	۸۷	۴/۳۸	۲/۱۴	۲/۶۰	۱۸/۳	۹/۰۵	۴/۹
۲	<1	۵۸۹	۱۰۴	۳۷/۹	۳۳۰	۰/۸۳	۷۸	۲/۲۸	۱/۶۶	۱/۷۹	۱۹/۰	۹/۰۸	۳/۹
۳	<1	۵۹۳	۶۹/۵	۱۰/۱	۱۱۰	۰/۱۲	۶۰	۱/۸۳	۰/۹۳	۱/۱۳	۲۱/۱	۳/۸۳	۳/۲
۴	<1	۷۷۵	۱۰۱	۱۸/۴	۷۰	۰/۲۹	۵۰	۲/۲۸	۱/۱۴	۱/۴۳	۲۱/۲	۴/۹۷	۳/۹
۵	<1	۷۴۶	۷۲/۱	۱۰/۴	۸۰	۰/۴۷	۳۵	۲/۰۵	۱/۰۲	۱/۲۰	۲۰/۶	۳/۹۴	۳/۴
۶	<1	۵۰۰	۹۰/۱	۱۹/۸	۶۰	۰/۲۰	۶۳	۲/۲۹	۱/۱۲	۱/۳۸	۲۰/۶	۴/۰۸	۳/۲
۷	<1	۵۷۳	۹۰/۷	۱۹/۴	۶۰	۰/۰۲	۵۵	۲/۲۸	۱/۱۶	۱/۳۷	۲۰/۴	۴/۰۹	۳/۴
۸	<1	۷۱۰	۹۲	۱۹/۶	۱۱۰	۰/۰۴	۵۷	۲/۳۴	۱/۲۲	۱/۳۳	۲۱	۴/۶۳	۳/۴
۹	<1	۱۳۳۰	۱۱۶	۴۰/۱	۲۱۰	۱/۰۱	۱۶۳	۲/۹۲	۱/۴۸	۱/۸۳	۱۸/۷	۶/۳۸	۴/۳
۱۰	<1	۸۱۱	۸۸/۶	۳۷/۲	۵۰۰	۰/۷۰	۵۸	۳/۱۳	۱/۶۵	۱/۰۱	۱۷/۹	۵/۳۴	۳/۰
۱۱	<1	۱۰۱	۴۴/۴	۲/۹	۳۰	۰/۰۴	۶	۲/۰۰	۱/۹۲	۰/۶۰	۷/۴	۲/۶۳	۴/۰
۱۲	<1	۶۲۱	۷۵/۰	۱۷	۷۰	۰/۱۹	۴۱	۲/۲۲	۱/۱۶	۱/۴۲	۱۸/۹	۴/۱۲	۳/۲
۱۳	<1	۵۸۲	۷۴/۶	۱۰/۷	۵۰	۰/۲۱	۳۵	۲/۲۰	۱/۱۰	۱/۳۸	۱۹/۲	۴/۰۸	۳/۱
۱۴	<1	۱۷۰۵	۶۱/۸	۱۰/۴	۶۰	۱۲/۶۵	۲۳	۲/۸۳	۱/۶۰	۱/۳۸	۱۶/۸	۳/۹۳	۳/۷

ادامه جدول ۲- نتایج تجزیه شیمیایی عناصر فرعی

شماره نمونه ها	Ho (ppm)	La (ppm)	Lu (ppm)	Mo (ppm)	Nb (ppm)	Nd (ppm)	Ni (ppm)	Pb (ppm)	Pr (ppm)	Rb (ppm)	Sm (ppm)	Sn (ppm)	Sr (ppm)
۱	۰/۸۰	۷۳/۱	۰/۲۳	۳	۳۴/۸	۶۰/۶	۲۴۴	۱۳	۱۸/۱۵	۱۰/۰	۱۰/۹۰	۲	۱۳۶۰
۲	۰/۶۱	۵۶/۹	۰/۲۰	۳	۳۰/۶	۴۲/۴	۱۸۲	۱۰	۱۲/۲۰	۲۵/۶	۷/۰۱	۱	۱۳۸۵
۳	۰/۳۵	۳۹/۸	۰/۱۰	<۲	۱۵/۸	۲۶/۶	۲۲	۱۴	۷/۸۷	۱۲/۸	۴/۳۴	۱	۱۲۰۰
۴	۰/۴۳	۵۵/۶	۰/۱۲	<۲	۲۱/۵	۳۷/۶	۲۲	۱۳	۱۱/۴۰	۲۲/۲	۰/۷۷	۲	۱۰۴۰
۵	۰/۳۹	۴۰/۴	۰/۱۲	۲	۱۵/۷	۲۷/۸	۲۵	۱۳	۸/۱۸	۱۷/۶	۴/۵۰	۱	۱۱۸۵
۶	۰/۴۳	۵۱/۲	۰/۱۴	<۲	۲۰/۷	۳۳/۰	۲۵	۱۲	۹/۹۰	۲۲/۳	۵	۱	۱۳۶۰
۷	۰/۴۳	۵۰/۷	۰/۱۴	۲	۲۰/۰	۳۲/۹	۲۷	۱۰	۹/۸۶	۲۱/۴	۰/۰۶	۱	۱۲۹۰
۸	۰/۴۵	۵۱/۹	۰/۱۳	۳	۲۰/۰	۳۳/۰	۲۸	۱۶	۱۰/۱۰	۲۱/۶	۰/۰۶	۱	۱۴۲۵
۹	۰/۰۴	۴۸/۰	۰/۱۶	<۲	۲۴/۴	۵۵/۶	۱۱۴	۱۷۶	۱۰/۴۰	۳۲/۴	۸/۲۵	۲	۴۴۷۰
۱۰	۰/۶۲	۴۶/۳	۰/۲۱	۲	۲۴/۴	۳۶/۴	۱۹۴	۳۱	۱۰/۴۵	۲۱/۰	۰/۹۰	۱	۱۱۹۰
۱۱	۰/۰۶	۲۶/۵	۰/۳۹	۲	۹/۵	۱۵/۷	<۵	۷	۴/۸۱	۹/۰	۲/۶۸	۱	۴۱۸
۱۲	۰/۴۳	۴۵/۴	۰/۱۵	<۲	۱۷۰	۲۹/۴	۲۷	۱۱	۸/۴۸	۲۳/۴	۴/۷۱	۱	۱۲۶۰
۱۳	۰/۳۹	۴۲/۴	۰/۱۳	<۲	۱۷۴	۲۸/۹	۱۸	۱۰	۸/۴۱	۲۳/۴	۴/۶۱	۱	۱۲۶۰
۱۴	۰/۰۳	۳۳/۴	۰/۲۲	<۲	۱۲/۳	۲۵/۹	۲۹	۱۵	۷/۱۴	۲۲/۱	۴/۴۷	۱	۱۰۰۰

ادامه جدول ۲- نتایج تجزیه شیمیایی عناصر فرعی

شماره نمونه ها	Ta (ppm)	Tb (ppm)	Th (ppm)	Tl (ppm)	Tm (ppm)	U (ppm)	V (ppm)	W (ppm)	Y (ppm)	Yb (ppm)	Zn (ppm)	Zr (ppm)
۱	۱/۹	۱/۰۶	۱۲/۳۰	<۰/۵	۰/۲۶	۲/۴۷	۲۲۸	۳	۲۰/۷	۱/۵۶	۱۲۳	۱۹۳
۲	۱/۷	۰/۷۴	۸/۷۱	<۰/۵	۰/۲۱	۱/۹۷	۲۱۲	۱	۱۶/۲	۱/۲۹	۱۱۷	۱۰۹
۳	۰/۹	۰/۴۶	۶/۲۴	<۰/۵	۰/۱۱	۱/۲۳	۱۱۶	۲	۹/۳	۰/۶۹	۷۳	۱۳۱
۴	۱/۱	۰/۵۶	۸/۴۱	<۰/۵	۰/۱۴	۱/۴۹	۱۴۲	۲	۱۱/۱	۰/۸۷	۹۵	۱۶۱
۵	۰/۹	۰/۴۸	۷/۱۳	<۰/۵	۰/۱۲	۱/۴۱	۱۱۰	۳	۹/۹	۰/۷۶	۷۹	۱۳۷
۶	۱/۱	۰/۵۴	۷/۶۹	<۰/۵	۰/۱۳	۰/۷۸	۱۲۳	۱	۱۱/۳	۰/۸۱	۱۰۲	۱۳۹
۷	۱/۱	۰/۵۴	۷/۵۰	<۰/۵	۰/۱۴	۱/۳۲	۱۲۲	۱	۱۱/۲	۰/۸۹	۸۸	۱۳۸
۸	۱/۰	۰/۵۵	۷/۰۳	<۰/۵	۰/۱۴	۱/۵۶	۱۵۱	۲	۱۱/۶	۰/۹۰	۹۲	۱۴۱
۹	۱/۰	۰/۷۰	۴/۲۱	<۰/۵	۰/۱۷	۰/۷۲	۳۱۶	۱	۱۳/۷	۱/۰۲	۱۷۷	۱۴۰
۱۰	۱/۴	۰/۶۷	۷/۷۴	<۰/۵	۰/۲۱	۱/۷۳	۱۸۹	۲	۱۶/۰	۱/۳۴	۱۰۵	۱۴۴
۱۱	۰/۹	۰/۴۱	۱۰/۷۰	<۰/۵	۰/۳۳	۲/۰۱	۲۸	۱	۱۶/۷	۲/۳۳	۱۳	۱۱۷
۱۲	۰/۹	۰/۵۱	۵/۹۴	<۰/۵	۰/۱۴	۱/۱۵	۷۶	۲	۱۱/۳	۰/۹۱	۸۳	۱۲۸
۱۳	۰/۹	۰/۵۰	۶/۱۰	<۰/۵	۰/۱۴	۱/۱۷	۸۱	۱	۱۰/۳	۰/۸۷	۸۱	۱۲۵
۱۴	۰/۸	۰/۵۴	۱۰/۴۰	<۰/۵	۰/۲۲	۳/۳۳	۱۲۷	۱	۱۴/۱	۱/۳۷	۶۹	۱۳۰

علاوه بر گدازه‌های آتشفشنی، سنگ‌های کاملاً تخریبی از قبیل کنگلومرا، ماسه سنگ، سیلت، رس و... نیز رخنمون دارند که از نهشته‌های مربوط به کواترنری محسوب می‌گردند. این سنگ‌ها در نمونه دستی به رنگ خاکستری دیده می‌شوند که از خاکستری روشن تا خاکستری تیره متغیر هستند و دارای بافت نهان بلوری می‌باشند.



شکل ۱- آندزیت بازالت‌های منشوری شکل جنوب کیقال

## بحث

### زمین‌شناسی عمومی

به طور کلی در منطقه مورد مطالعه بروزدی از سنگ‌های قبل از ائوسن وجود ندارد. بخش‌هایی از منطقه توسط مواد گدازه‌ای نوع بازالت منشوری مربوط به دوره کواترنری پوشیده شده است (شکل‌های ۱ و ۲). این رخساره‌های آتشفشنی به دلیل موقعیت چینه‌شناسی و استقرارشان بر روی نهشته‌های مارن، سیلت و کنگلومرای پلیوسن، به نظر می‌رسد سرآغاز ولکانیسم کواترنری در منطقه باشند. تنوع ترکیب و فواصل میان فوران‌ها و سنگ‌های آتشفشنی برشی و کنگلومرای آتشفشنی میان گدازه‌ها، خود دلیل و شاهدی بر تعدد فعالیت‌های آتشفشنی‌ها در این منطقه می‌باشد [۴]. ترکیب شیمیایی این گدازه‌های آتشفشنی کواترنری آندزیت، پیروکسین آندزیت، تراکیت تا تراکی آندزیت و آندزیت بازالت می‌باشد.

به کانی تیره تبدیل شده‌اند. نکته جالب توجه وجود زینوکریستال‌های کوارتز در این نمونه‌ها می‌باشد که در حاشیه این زینوکریستال‌ها تجمعی از بلورهای ریز کلینوپیروکسن ملاحظه می‌گردد که مؤید آلدگی پوسته‌ای است (شکل ۳-د). تراکی آندزیت‌ها و تراکی آندزیت بازالت‌ها اغلب از کانی‌های پلازیوکلاز، پیروکسن و ندرتاً آمفیبول و بیوتیت تشکیل شده‌اند. فنوکریست پلازیوکلاز در این نمونه‌ها به مقدار فراوان یافت می‌شود. این بلورها دارای ترکیب لابرادوریت تا آندزین می‌باشند. ساختمان منطقه‌ای، آثار خوردگی و بافت غربالی در برخی بلورهای پلازیوکلاز مشاهده می‌شود. علت تشکیل بافت غربالی مربوط به کاهش سریع فشار (صعود سریع مagma) و یا تغییرات فشار بخار آب magma است [9, 13, 21]. در ضمن اختلاط magma‌ای نیز می‌تواند چنین بافتی را به وجود آورد [6] و [17]. به نظر می‌رسد علت اصلی، مربوط به صعود سریع magma و کاهش فشار است. بقایایی از فنوکریست‌های آمفیبول بازالتی به رنگ قهوه‌ای مشاهده می‌شود که در برخی مقاطع دارای حاشیه سوخته بوده و در برخی به طور کامل سوخته و کدر شده‌اند اما شکل اولیه خود را تا حدود زیادی حفظ کرده‌اند (شکل ۳-ه و ۳-و). دلیل این امر علاوه بر تأثیر متفاوت سیالات در magma، افزایش ناگهانی دما در اثر کاهش فشار به هنگام خروج magma می‌باشد [۵ و ۲]. در برخی از نمونه‌ها حفره‌هایی دیده می‌شود که عمدتاً خالی بوده و فقط تعداد کمی توسط کانی‌های کلسیت و کوارتز پر شده‌اند. خمیره این سنگ‌ها عمدتاً از میکرولیت‌های پلازیوکلاز و بلورهای ریز پیروکسن و کانی‌های ثانویه نظیر اکسید آهن، کانی تیره، لوکوکسن، شیشه و ندرتاً آلکالی فلدرسپار تشکیل شده است.

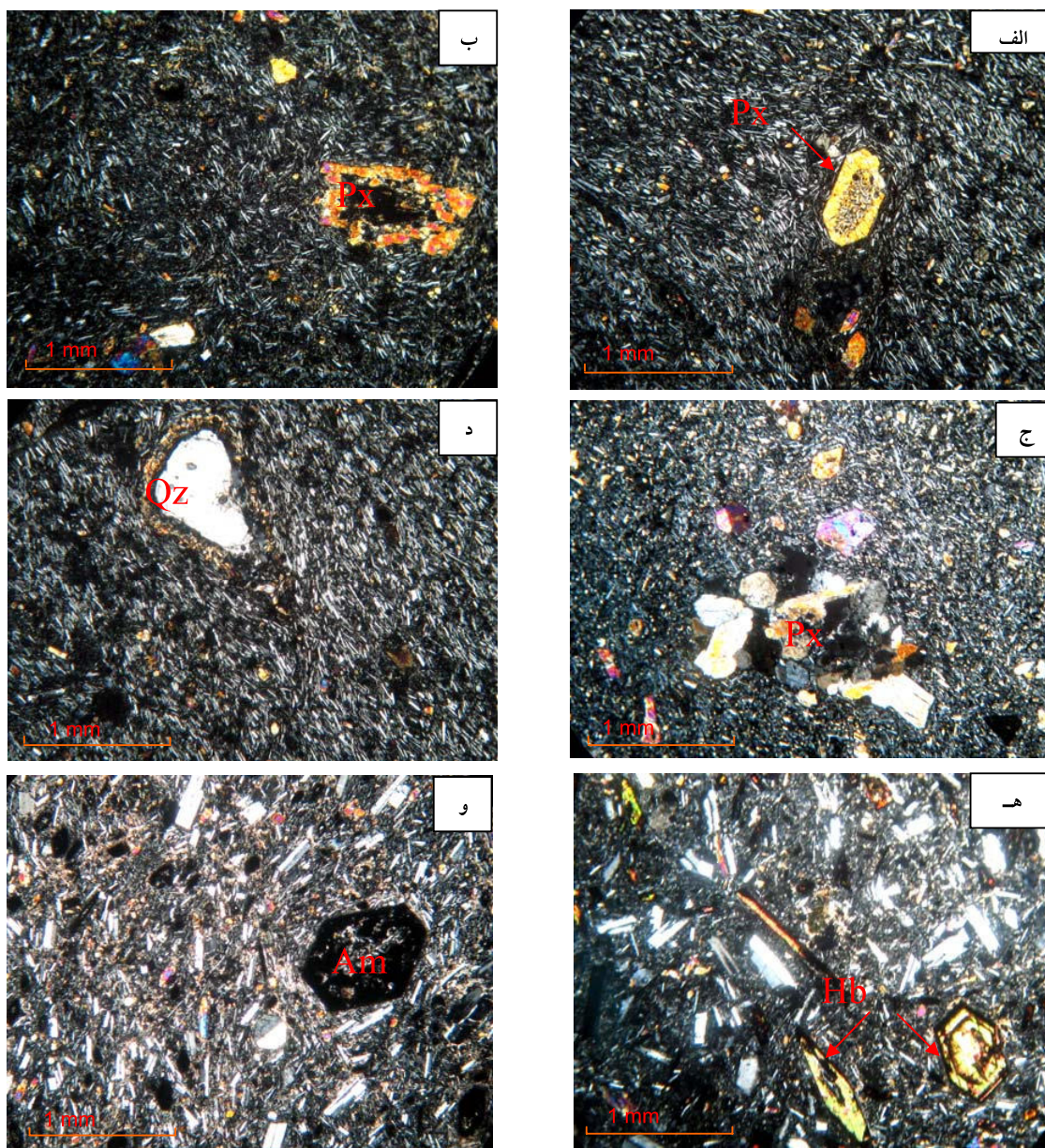


شکل ۲- بازالت تا آندزیت بازالت‌های شمال کرویق  
(دید به سمت جنوب شرق)

## پتروگرافی

نمونه‌های منطقه مورد مطالعه در مقیاس میکروسکوپی دارای بافت پورفیریک با خمیره میکرولیتی یا میکرولیتی-شیشه‌ای می‌باشند. در برخی از نمونه‌ها حالت جریانی و یا نیمه جریانی در میکرولیت‌های خمیره دیده می‌شود. بافت گلومرپورفیریک نیز در برخی نمونه‌ها مشاهده می‌شود.

بازالت‌ها و تراکی بازالت‌ها عمدتاً از کانی‌های پیروکسن، پلازیوکلاز و ندرتاً الیوین و آمفیبول تشکیل شده‌اند. کانی پیروکسن فراوان‌ترین فنوکریست موجود در این سنگ‌ها است. این بلورها دارای ساختمان منطقه‌ای و بافت غربالی می‌باشند (شکل ۳-الف)، همچنین حواشی برخی از پیروکسن‌ها خلیجی شکل است که ناشی از سرد شدن سریع گدازه است. آثار خوردگی نیز در مرکز و حواشی برخی بلورهای پیروکسن مشاهده می‌شود که نشان‌دهنده عدم تعادل در بلورهای پیروکسن نسبت به تبلور زمینه سنگ است (شکل ۳-ب). در بعضی موارد پیروکسن‌ها تجمع حاصل کرده و بافت گلومرپورفیریک را ایجاد کرده‌اند که حاکی از پدیده تبلور بخشی و تفریق magma می‌باشد (شکل ۳-ج). در این سنگ‌ها بلورهای الیوین به مقدار کمی مشاهده می‌شود و اغلب

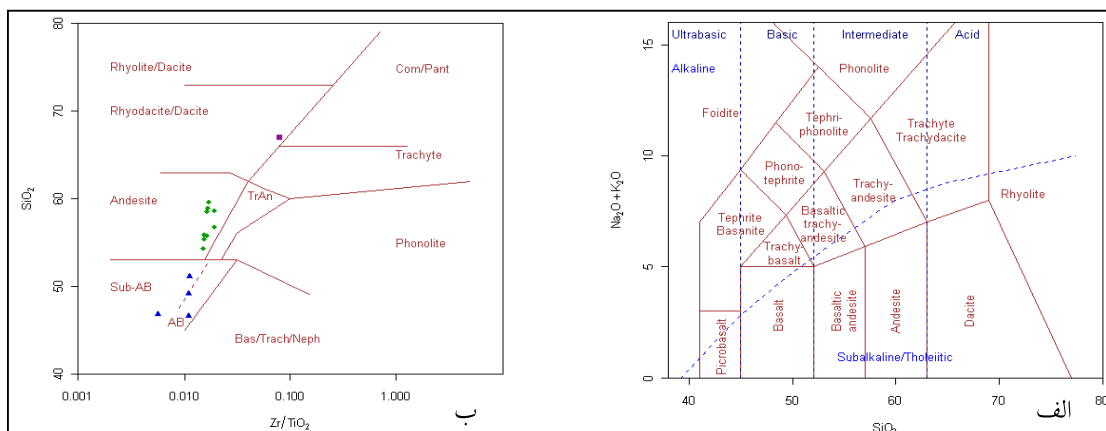


شکل ۳-الف) بافت پورفیریک با خمیره میکرولیتی در بازالت آندزیتی. بلور شکل دار کلینوپیروکسن با بافت غربالی در زمینه ای از میکرولیت های پلازیوکلاز و میکروکریستال های پیروکسن (نور XPL). ب) تحلیل رفتن بخش درونی بلور پیروکسن در آندزیت بازالتی (نور XPL). ج) تجمع بلور های پیروکسن بصورت بافت گلومرپورفیری در آندزیت بازالتی (نور XPL). د) بلور کوارتر با حاشیه واکنشی در بازالت آندزیتی. بر اثر پدیده هضم در اطراف زینوکریستال کوارتر، بلور های پیروکسن تشکیل شده است (نور XPL). ه) بافت پورفیریک با خمیره میکرولیتی تا شیشه ای در تراکی آندزیت بازالتی. فنوکریست هورنبلند قهوه ای شکل دار و سانیدین در زمینه ای از میکرولیت های پلازیوکلاز و شیشه (نور XPL). و) بافت پورفیریک با خمیره میکرولیتی نیمه جریانی در تراکی آندزیت بازالتی. فنوکریست آمفیبول سوخته و میکروفنوکریست های سانیدین و پلازیوکلاز (نور XPL).

محدوده‌های بازالت، تراکی بازالت، تراکی آندزیت و تراکی آندزیت بازالتی واقع می‌شوند. این نمونه‌ها در نمودار  $\text{SiO}_2$  در برابر  $\text{Zr}/\text{TiO}_2$  [19]، در قلمرو آلکالی بازالت، ساب آلکالی بازالت و آندزیت قرار می‌گیرند (شکل ۴-الف و ۴-ب).

### پترولوژی و ژئوشیمی

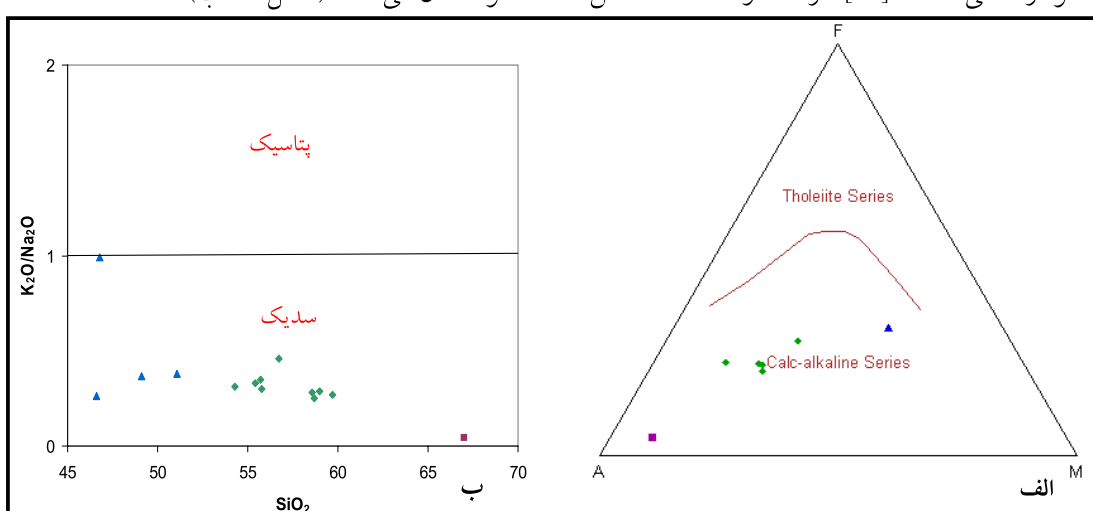
با توجه به ریز دانه بودن و وجود شیشه در زمینه بعضی از سنگ‌ها، ۱۴ نمونه مورد تجزیه شیمیایی قرار گرفت و نمودارها رسم گردید. بر اساس نمودار مجموع آلکالان در برابر  $\text{SiO}_2$  [11]، اکثر نمونه‌ها در



شکل ۴-الف) طبقه‌بندی سنگ‌های آتشفشاری با استفاده از نمودار مجموع آلکالان در مقابل سیلیس [11]، ب) نمودار طبقه‌بندی سنگ‌های آتشفشاری با استفاده از پارامترهای [19]  $\text{SiO}_2$  در برابر  $\text{Zr}/\text{TiO}_2$

واقع شدند که علت قرارگیری نمونه‌ها در محدوده کالک آلکالان، آلودگی پوسته‌ای است و وجود زینوکریست کوارتز، آن را توجیه می‌کند (شکل ۵-الف). این نمونه‌ها در نمودار نسبت  $\text{K}_2\text{O}/\text{Na}_2\text{O}$  در مقابل  $\text{SiO}_2$  [7]، سرشت سدیک از خود نشان می‌دهند (شکل ۵-ب).

به منظور بررسی ویژگی‌های ژئوشیمیایی و سرشت ماقمای والد تشکیل دهنده سنگ‌ها از نمودار مجموع آلکالان در مقابل  $\text{SiO}_2$  [11]، استفاده شد. طبق این نمودار، نمونه‌ها در محدوده‌های آلکالان و ساب آلکالان قرار گرفتند (شکل ۴-الف). نمونه‌های ساب آلکالان در نمودار مثلثی AFM [10]، در محدوده کالک آلکالان

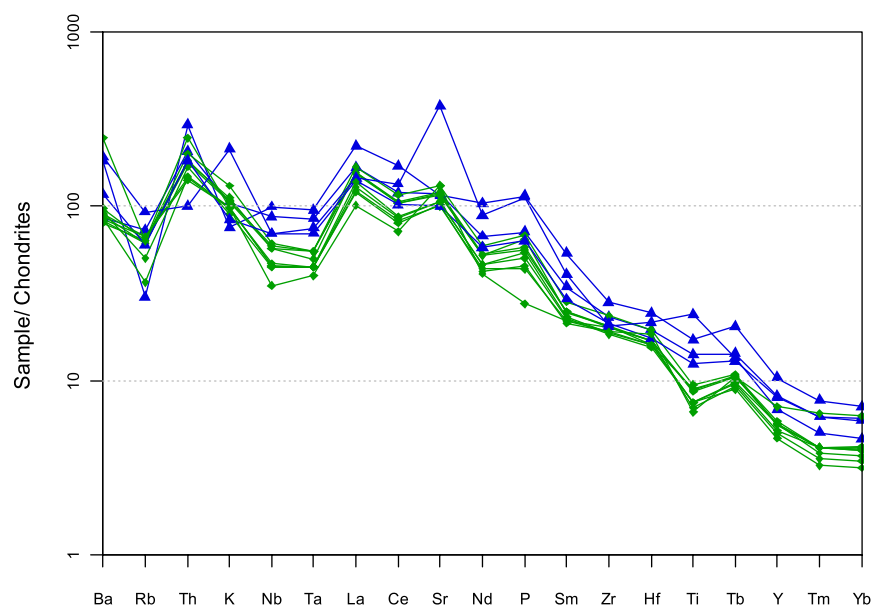


شکل ۵-الف) نمودار تفکیک سری‌های تولیتی و کالک آلکالان [10]، ب) نمودار تفکیک سری‌های سدیک و پتاسیک [7]

نسبت به کندریت [16]، شبیه تغییرات منفی است که بیانگر غنی شدگی از عناصر کمیاب خاکی سبک و تهی شدگی از عناصر کمیاب خاکی سنگین است که این مسأله می‌تواند در ارتباط با کم بودن نسبی درجه ذوب بخشی در سنگ منشأ گشته بالایی باشد. در این نمودار، آنومالی مثبت عناصر Ba و Th و آنومالی منفی Nb مشاهده می‌شود که نشان‌دهنده آلودگی پوسته‌ای است (شکل ۶). در مقایسه نمودارهای عنکبوتی نمونه‌های منطقه با پوسته فوقارانی و تحتانی، تشابه بیشتری با پوسته فوقارانی مشاهده می‌شود، بنابراین به نظر می‌رسد نمونه‌های منطقه، اندکی آلودگی با پوسته فوقارانی داشته‌اند (شکل ۷).

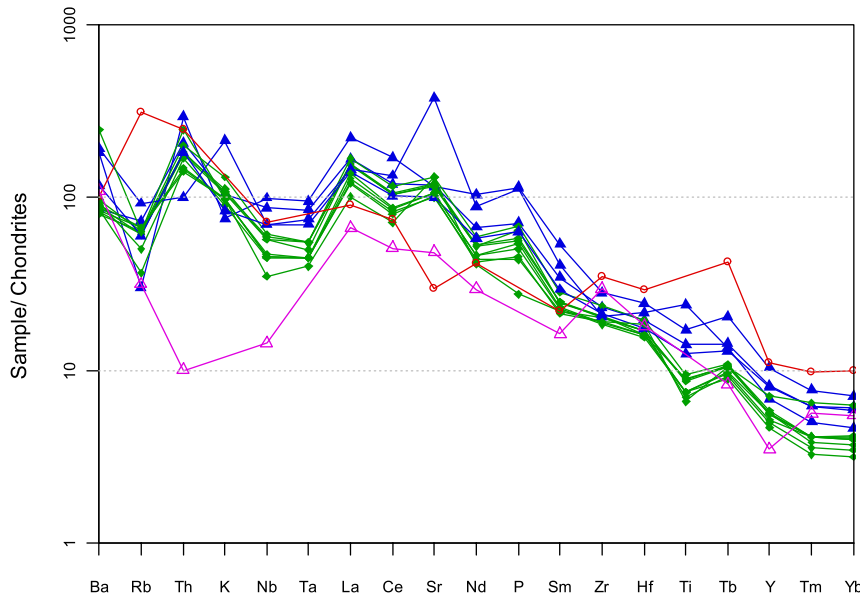
در نمودارهای تغییرات عناصر اصلی و کمیاب نسبت به  $\text{SiO}_2$ ، روند عادی تبلور تا حدی دیده می‌شود. روند  $\text{CaO}$  در برابر  $\text{SiO}_2$ ، تأییدی بر اثرات تفریق پلازیوکلاز، کلینوپیروکسن و تبلور بخشی، کاهش  $\text{MgO}$  مبنی بر تفریق کانی‌های مافیک مانند الیوین و پیروکسن و روند  $\text{Fe}_{2\text{O}}_{3\text{tot}}$  به علت تفریق کانی‌های تیره، آمفیبول و بیوتیت در حال تبلور می‌باشد. در نمودار  $\text{K}_2\text{O}$ ،  $\text{Th}$  و  $\text{Nb}$  نسبت به  $\text{SiO}_2$  پراکندگی مشاهده می‌شود. پراکندگی‌های مشاهده شده به علت درجات متفاوت ذوب بخشی، میزان درصد متفاوت فنوکریست‌ها، تبلور بخشی و آلودگی پوسته‌ای (وجود زینوکریست کوارتز) است.

از نمودارهای عنکبوتی نیز جهت بررسی ژئوشیمیایی استفاده شد. در نمودار عنکبوتی عادی سازی شده



شکل ۶- نمودار عنکبوتی نمونه‌های منطقه در عادی سازی با کندریت [16]

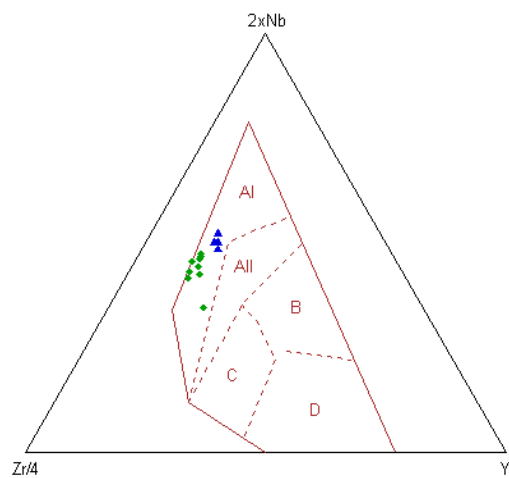
علائم: سنگ‌های بازیک ( $\blacktriangle$ )، سنگ‌های حدواتسط ( $\blacklozenge$ )، پوسته پائینی ( $\blacktriangleleft$ ) و پوسته فوقارانی ( $\circlearrowright$ )



شکل ۷- مقایسه نمودارهای عنکبوتی نمونه های آتشفشانی مورد مطالعه با پوسته پائینی و پوسته فوکانی در عادی سازی با کندریت [16].  
علائم: سنگ های بازیک (▲)، سنگ های حدوداً (●)، پوسته پائینی (△) و پوسته فوکانی (○)

پتروگرافی، آلودگی پوسته ای سنگ های منطقه مورد مطالعه محرز است [18].

از دیگر ویژگی های ژئوشیمیابی که در این مطالعه به آن توجه شده است تعیین خاستگاه ماقمای سنگ های مورد مطالعه است. برای تعیین محیط تکتونوماقمایی سنگ های آتشفشانی منطقه مطالعاتی، تعدادی از نمودارهای جایگاه تکتونیکی بازالت ها مورد استفاده قرار گرفت. بر اساس نمودار مثلثی Zr-Nb-Y [12]، همه نمونه ها در قلمرو آلکالی بازالت های درون صفحه ای قرار می گیرند (شکل ۸) و در نمودار مثلثی Th-Hf/3-Ta [20] نمونه ها در محدوده بازالت های کالک آلکالن و در نزدیکی این محدوده واقع می شوند (شکل ۹). لازم به ذکر است که نمونه های مورد مطالعه جزو بازالت های آلکالن درون صفحه ای هستند. طبق نظر ویلسون اگر بازالت های درون صفحه ای با پوسته آلودگی پیدا کنند به علت افزایش Th، گرایش به سمت قطب Th یعنی بازالت کالک آلکالن پیدا می کنند و با توجه به شواهد

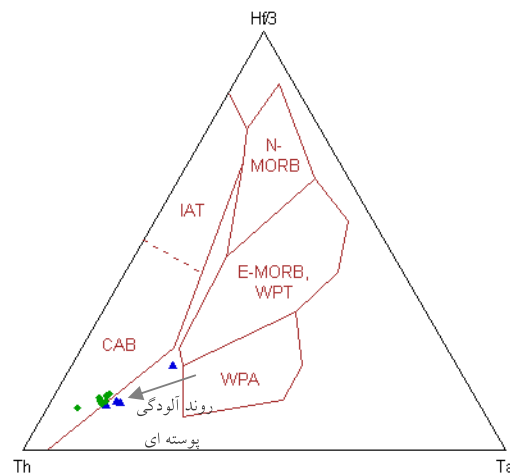


شکل ۸- نمودار متمايز کننده بازالت ها بر اساس متغیرهای Zr - Nb - Y [12]. در این نمودار محدوده ها چنین تعریف شده اند: AI، آلکالی بازالت درون صفحه ای؛ AII، آلکالی بازالت درون صفحه ای و توئیت درون صفحه ای؛ B، MORB نوع E؛ C، توئیت درون صفحه ای و بازالت قوس آتشفشانی؛ D، نمودار متمايز کننده بازالت قوس آتشفشانی.

نسبت  $K_2O/Na_2O$  کوچکتر از یک بوده و دارای گرایش سدیک می‌باشد.

در نمودارهای تغییرات عناصر اصلی و کمیاب نسبت به  $SiO_2$ ، روند عادی تبلور تا حدی دیده می‌شود. پراکندگی‌های مشاهده شده در نمودارها بیشتر به علت تبلور بخشی کانی‌های مافیک (پیروکسن و الیوین) و آلدگی پوسته‌ای است.

وجود شیب منفی در نمودارهای عنکبوتی، حاکی از درجه کم ذوب بخشی منشأ گوشه‌ای است و آنومالی مثبت عناصر Ba و Th و آنومالی منفی Nb، ناشی از آلدگی پوسته‌ای است و طبق نمودارهای محیط تکتونوماگمایی، نمونه‌ها در محدوده آلکالی بازالت‌های درون قاره‌ای قرار می‌گیرند.



شکل ۹- نمودار متمايز کننده بازالت‌ها بر اساس متغیرهای Th - Hf - Ta [20] که محدوده‌های N-MORB نوع E و تولیت درون صفحه‌ای (WPT)، بازالت آکالان درون صفحه‌ای (WPA)، تولیت جزایر قوسی (IAT) و بازالت کالک آکالان (CAB) را نشان می‌دهد.

## منابع

- آقاباتی، ع، (۱۳۸۳)، زمین‌شناسی ایران، سازمان زمین‌شناسی و اکتشافات معدنی کشور، ص ۵۸۶.
- سبزه‌ای، م، (۱۳۸۴)، فروپاشی آمفیبول‌ها و بیوتیت‌ها در مagmaها و اهمیت پترولوجیکی آن، مجموعه مقالات گردهمایی علوم زمین، سازمان زمین‌شناسی و اکتشافات معدنی کشور، ص ۱۵-۶.
- کریم زاده ثمرین، ع، (۱۳۸۱)، کاربرد داده‌های ژئوشیمیایی، انتشارات دانشگاه تبریز، ص ۵۵۷.
- مهرپرتو، م، امینی فضل، آ، رادر، ج، (۱۳۷۱)، نقشه زمین‌شناسی ورزقان، مقیاس ۱:۱۰۰۰۰۰، سازمان زمین‌شناسی و اکتشافات معدنی کشور.
- وزیری، ف، لطفی، م، (۱۳۸۵)، پتروگرافی و ژئوشیمی منشورهای بازالتی جنوب غرب کلیبر (آذربایجان خاوری)، مجموعه مقالات گردهمایی علوم زمین، سازمان زمین‌شناسی و اکتشافات معدنی کشور، ص ۱۴-۶.

## نتیجه گیری

سنگ‌های منطقه مورد مطالعه بر روی نهشته‌های مارن، سیلت و کنگلومرای پلیوسن قرار گرفته و دارای سن کواترنری می‌باشد. این سنگ‌ها در نمونه دستی به رنگ خاکستری تیره دیده می‌شوند و دارای بافت نهان بلوری می‌باشند.

سنگ‌های منطقه دارای ترکیب بازالت، تراکی بازالت، تراکی آندزیت، تراکی آندزیت بازالتی و آندزیت بازالتی هستند. در این سنگ‌ها پدیده تبلور بخشی (کومولیت پیروکسن)، اختلاط ماگمایی و آلایش پوسته‌ای (زینوکریست کوارتز، منطقه‌بندی نوسانی، بافت غربالی و خورده‌گی در کانی‌های پیروکسن و پلازیوکلاز، آمفیبول با حاشیه سوخته) دیده می‌شود. سنگ‌های منطقه دارای ویژگی سری آکالان است که به علت آلدگی پوسته‌ای، برخی از سنگ‌ها به سمت کالکوآلکالن گرایش پیدا کرده‌اند. در نمونه‌ها

- 6- Dungan M.D. and Rhodes, J.M., (1978). Residual glasses and melt inclusions in basalts from DSPP legs 45 and 46: Evidence for magma mixing. *Contrib. Mineral. Petrol*, 67, 417-431.
- 7- Emami, M.H., (1981). Geologie de la region de Qom- Aran (Iran), contribution a L'etude dynamique et geochemique du volcanisme tertiaire de l'Iran central, These d'Etat, Univer. Grenoble, France, 312-317.
- 8- Halsor, S.P., (1989). Large glass inclusions in plagioclase phenocrysts and their bearing on the origin of mixed andesitic lavas at Toliman Volcano, Guatemala. *Bull. Volcanol.*, Guatemala. *Bull. Volcanol.*, 51, 271-280.
- 9- Holl, A., (1996). Igneous petrology. Longman, Newyork, 551p.
- 10- Irvin T.N. and Barragar W.R.A., (1971). A guide to the chemical classification of the common volcanic rocks. *Can. Earth Sci*, 8, 523-548.
- 11- Le Bas, M.J., Le Maiter, R.W., Strecheisen, A., Zanettin, B., (1986). A chemical classification of volcanic rocks based on the total- alkali- Silica Diagram. *J. Petrol*, 27, 745- 750.
- 12- Meschede M., (1986). A method of discriminating between different types of mid-ocean ridge basalts and continental tholeiites the Nb-Zr-Y diagram. *Chem. Geol*, 56, 207-218.
- 13- Nelson, S.T., Montana, A., (1992). Sieve textured plagioclase in volcanic rocks produced by rapid decompression, *AM. Min*, 77, 1242-1249.
- 14- Shelly D., (1993). Igneous and metamorphic rocks under the microscope chapman and Hall, 630p.
- 15- Stormer, J.C., (1972). Mineralogy and petrology of the Raton- Clayton volcanic field northeastern New Mexico. *Geol. Soc. Am. Bull*, 83, 3299-3322.
- 16- Thompson R.N., (1982). British Tertiary volcanic province. *Scott. Geol*, 18, 49-107.
- 17- Tsuchiyama, A., (1985). Dissolution kinetics of plagioclase in the melt of the system diopsid- Albit- Anortite and origin of dusty plagioclase in andesite. *Contrib. Mineral. Petrol*, 89, 1-16.
- 18- Wilson M., (1989). Igneous Petrogenesis: A Global Tectonic Apoach. Unwin Hyman. Londan, 466p.
- 19- Winchester J.A. and Floyd P.A., (1977). Geochemical discrimination of different magma series and their differentiation products using immobile elements. *Chem. Geol*, 20, 325-343.
- 20- Wood D.A., (1980). The application of a Th-Hf-Ta diagram to problems of tectonomagmatic classification and to establishing the nature of crustal contamination of basaltic lavas of the British Tertiary volcanic province. *Earth planet. Sci. Lett*, 50, 11-30.
- 21- Zellmer, G.F., Sparks, R.S.J., Hawkesworth, G.J. and Wiedenbeck, M., (2003). Magma Emplacement and Remobilization Timescales Benath Montserrat: Insights from Sr and Ba zonation in plagioclase phenocrysts. *Journal of Petrology*. 44, 1413-1431.

